

تصنيع المركبات الهولوكرامية لاستخدامها في زيادة كفاءة الخلية الشمسية

عدنان صالح العيثاوي *

علي هادي الحمداني **

ولدان محمد عواد

تاريخ قبول النشر ٢٠٠٥/٧/٣

الخلاصة.

طريقة جديدة لأنظمة المركبات تم توضيحها والتي تسمح بتركيز عالي وتحليل تلقائي للأطوال الموجية للطيف، هذا النظام المحلل للطيف والمركز مبني على هولوكرام نافذ يعطي اقل امتصاصية مع كفاءة حيود عالية عند الطول الموجي (٩٠٠ نانومتر) والذي يكون مفيد للخلايا الشمسية .
خصائص الفحص الطيفي تتفق مع متطلبات تطبيقات الخلايا الشمسية وهذه الخصائص الطيفية درست باستخدام عدة متغيرات تصنيعية مثل سمك الفلم وزاوية دوران الفلم وتأثيرهما على كفاءة الحيود، وقد بينت النتائج التي تم الحصول عليها إن المتغيرات اللازمة لتصنيع افضل هولوكرام هي سمك (٠,٤٥mm) وزاوية دوران (٥١٥) .
لقد ازدادت كفاءة الخلية الشمسية من (٥,٧%) إلى (٦,٥%) أما القدرة العظمى (Pm) فقد ازدادت من (0.0456) إلى (0.052) باستخدام المركبات الهولوكرامية المصنعة وفق المتغيرات أعلاه .

المقدمة.

تعتبر الطاقة الشمسية من مصادر الطاقة الأساسية التي وجه لها العلماء اهتمام كبير وهذا يتضح من ملاحظة مراحل تطور الخلايا الشمسية ، فلقد استمرت الجهود لتحسين أداء الخلايا الشمسية من خلال تقليل كلفتها وزيادة كفاءتها وذلك باستخدام عدة طرق منها:

١- التغير في طريقة تصنيع الخلايا الشمسية أو المواد المستخدمة حيث هناك تقنيات كثيرة في هذا المجال منها طلاء سطح الخلية بمادة تزيد من امتصاص الفوتونات أو التحكم بنسب الشوائب للمادة شبه الموصلة وغيرها .

٢- استخدام مرايا وعدسات خارجية تؤدي إلى زيادة الكفاءة حيث إنها تعمل على تركيز ضوء الشمس إلا أن هذه المرايا والعدسات غالباً ما تكون عالية الثمن أو تحتاج إلى تقنيات وأجهزة متطورة لأجل تتبع حركة الشمس اليومية.

٣- استخدام المركبات الشمسية الوميضية : وهي عبارة عن صبغات منقلوره يتم وضعها على سطح الخلية الشمسية تعمل على أزاحه الطيف الشمسي إلى مناطق أكثر فائدة لاستجابة الخلية الشمسية وزيادة تقبل الخلية للإلكترونات وتقليل انعكاسها .

٤- المركبات الهولوكرامية : إن أهم ميزة لهذه المركبات هي عدم احتوائها على أجزاء متحركة وقدرتها على متابعة حركة الشمس اليومية وكذلك زيادة تركيز الأشعة بصورة كبيرة على مساحة صغيرة من الخلية الشمسية وهذا يعني أن المركبات الهولوكرامية تزيد من الكفاءة وبنفس الوقت تقلل الكلفة ، نظراً لهذه المميزات الفريدة تم في هذا البحث توضيح أهم مراحل عمل الهولوكرام واستخدامه في تحسين أداء الخلايا الشمسية مع مناقشة النتائج التي تم للتوصل إليها.

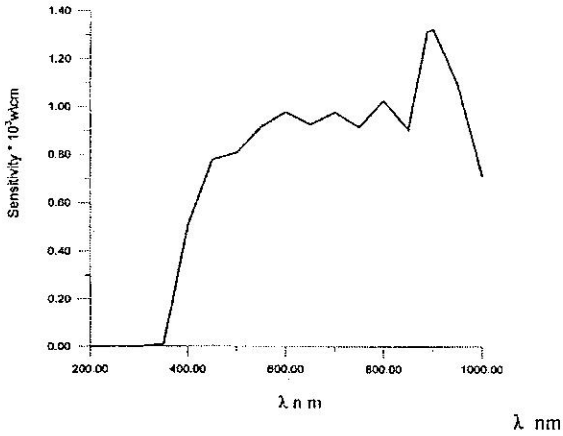
الجانب العملي .

١- عملية تصنيع الهولوكرام :

بعد تصنيع الفلم الحساس مختبرياً ولأسمالك مختلفة حسب الطريقة المنشورة في [1]، تم استخدام الطريقة اللامحورية (Off - axis) لتعريض الفلم الحساس لأشعة الليزر كما يبين الشكل رقم (1). فبعد تجزئه شعاع الليزر إلى قسمين وتمريرهما خلال عدد من العناصر البصرية للحصول على موجات مستوية تتداخل على سطح الفلم الحساس بزوايا متداخل معبسة (0) وتستمر عملية التعريض لمدة (15) دقيقة ، وبعدها يتم تغير زاوية سقوط الأشعة المتداخلة على سطح الفلم وذلك بتدوير الفلم بزوايا مقدارها (α) في الظلام ويعرض الفلم لمدة 15 دقيقة أخرى.

* باحث علمي اقدم /الجامعة التكنولوجية /قسم الليزر والبصريات الالكترونية.
* استاذ/ جامعة بغداد /كلية العلوم للبنات/ قسم الفيزياء

تم قياس استجابة الكاشف بدون وضع الهولوكرام المركز للضوء أعطى المنحني المبين بالشكل [3] وذلك بعد اخذ تأثير المحيط (background) بنظر الاعتبار.



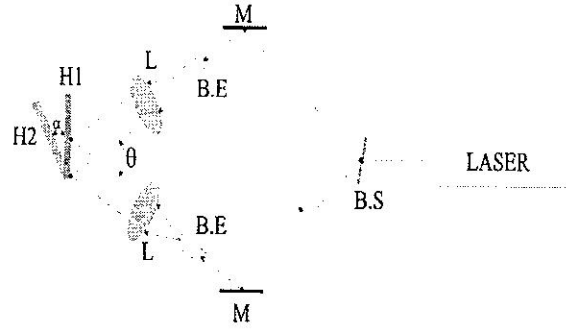
شكل رقم (٣) يوضح مدى استجابة الكاشف للأطوال الموجية بدون الهولوكرام والذي يستعمل للمقارنة لاحقاً.

حيث يمتلك الكاشف أعلى استجابة في منطقة الأطوال الموجية الملائمة لعمل الخلايا الشمسية السلكونية (900nm) ولكنه في نفس الوقت له استجابة ملموسة في المنطقة (400-800 nm) من الطيف فعند وضع الهولوكرام قبل الكاشف بحيث تمر جميع الأشعة الخارجة من المحلل لتسقط على الهولوكرام والكاشف معا وتم قياس استجابة الكاشف لتوضيح تأثير الهولوكرام عليه.

النتائج والمناقشة:

تم تصنيع هولوكرام من أفلام من أسماك (0.05, 0.11, 0.16, 0.25, 0.35, 0.45, 0.69 mm) وإجراء عملية الفحص والقياس لكل سمك وقد وجد أن أفضل سمك لتصنيع المركز الهولوكرام هو (0.45 mm) كما يوضح الشكل رقم (٤).

تسمى هذه العملية عملية التعريض المزدوج ، وتمتاز هذه العملية بإمكانية تصنيع عدة عناصر بصرية على فلم واحد.



شكل رقم (١) يوضح مخطط لعملية التعريض حيث أن:

B.S: مجزأ حزمة

B.E: موسع حزمة

M₁, M₂: مرآتان

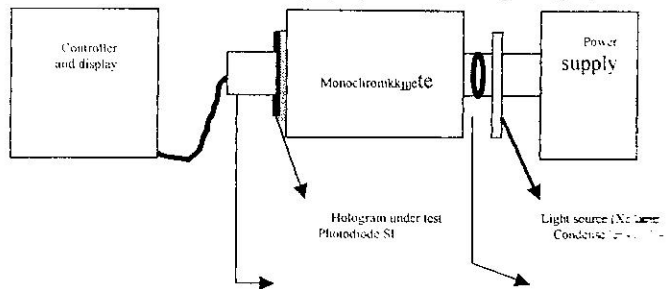
L₁, L₂: عدستان

H₂, H₁: الموقع الأول والثاني للهولوكرام

المرحلة ألا خيره لتصنيع الهولوكرام هي عملية التحميص وذلك لتضخيم وتثبيت التغيرات التي حدثت أثناء عملية التعريض ويتم بوضع القلم تحت ماء جار لبعث دقائق ثم تغطيسه في بعض أنواع الكحول [2].

٢- عملية الفحص و القياس :

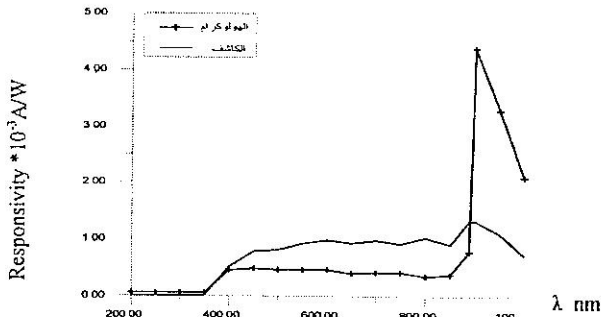
تمت عملية فحص الهولوكرام المصنع بالطريقة أعلاه باستخدام المنظومة المبينة بالشكل (2) حيث تتكون من مصباح زينون المجهز من شركه (Applied photo physics) (مشابه لضوء الشمس) ومحلل ضوئي (monochrometer) يعمل على تحليل الضوء الأبيض إلى أطوال موجية مختلفة وكاشف سيليكوني مجهز من شركه (conronic optical system) (LTD) يعمل على تحسس الأطوال الموجية الساقطة عليه مرتبط مع مقياس (photometer) موديل (210) لقياس القدرة الساقطة عليه بالواط .



شكل رقم (2) يوضح منظومة القياس المستخدمة

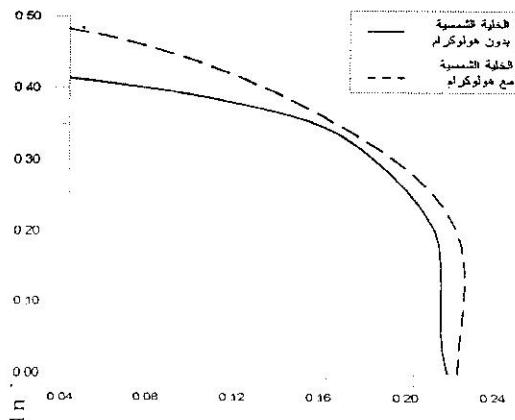
لفحص الهولوكرام

تكون ضاراً وغير مفيدة للخلايا الشمسية [5] ، بينما يقوم بزيادة تركيز الأشعة الشمسية التي تقع ضمن الطول الموجي (900-950 nm) وهو الطول الموجي المناسب لاستغلال الخلايا الشمسية السليكونية مما يزيد من كفاءة الخلية الشمسية.

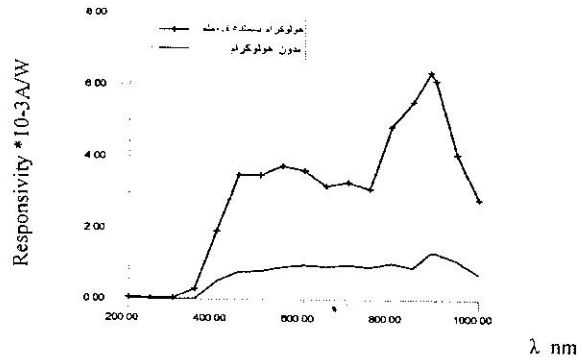


شكل رقم (٦) كفاءة هولوكرام المصنع حسب الظروف التي تم التوصل إليها.

وعند استخدام هذا الهولوكرام لتركيز الأشعة الشمسية على الخلايا السليكونية حيث حدثت زيادة في كفاءتها أدائها شكل رقم (7) فقد ازدادت كفاءة الخلية الشمسية من (٥,٧%) إلى (٦,٥%) أما القدرة العظمى (Pm) فقد ازدادت من (0.0456) إلى (0.052) وهذا مما يشجع على تطوير هذا النوع من المركبات بزيادة مساحته وإمكانية استعماله في مديات مختلفة من الأطوال الموجية وحسب التطبيقات المطلوبة [6].

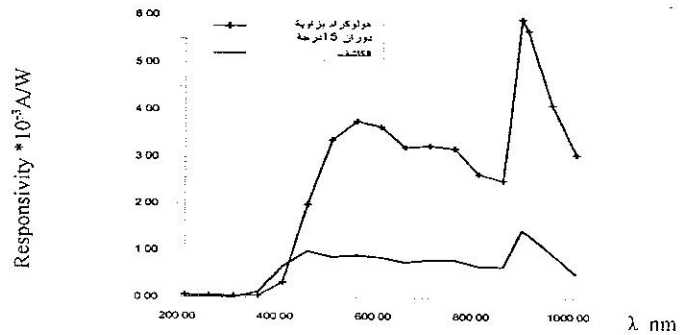


شكل رقم (7) يوضح خصائص التيار - الفولتية للخلايا الشمسية قبل وبعد استخدام الهولوكرام.



يوضح الشكل رقم (4) كيفية حدوث زيادة كبيرة

في التركيز عند زيادة السمك كما درس تأثير بزواوية دوران الفلم على كفاءة هذا المركز حيث تمت دراسة الزوايا (٥٢,٥٥,٥١,٥١,٥٢,٥٢,٥٣) ووجد أنه كلما زادت زاوية دوران الفلم زادت قيمة كفاءة الحيو كما يوضح الشكل (5) والذي يمثل افضل زاوية دوران مقدارها (١٥°).



شكل رقم (٥) يوضح تأثير زاوية الدوران على الهولوكرام

حيث بدأ الهولوكرام بتقليل نفوذ الأشعة غير الملائمة لعمل الخلية الشمسية، في حين قسام بزيادة تركيز الأشعة الملائمة للخلية الشمسية التي تقع ضمن الأطوال الموجية (900-800 nm) تقريباً أي يعمل كمرشح ومركز في نفس الوقت.

ويبين الشكل (٧) أهم النتائج التي تم الحصول عليها عند استخدام أفلام بسمك (0.45mm) وزاوية دوران (15°) حيث أن منحنى استجابة الكاشف في حالة وضع هولوكرام يشير إلى أن الهولوكرام يمنع مرور الأشعة الضوئية الأقصر من (800nm) والتي

- 4 - Shankoff .T.A, 1968 "Phase Hologram In Dichromated Gelatin", Applied optics,.7(10): 2110.
- 5- Quintana.J.A, Boy. P .G, 1998 "Diffraction Gratings In Dry Developed Dichromated Gelatin Films", thin solid films, .317: .343.
- 6- Chang. B.J.,Leonard.C.D, 1979 'Dichromated Gelatin For The Fabrication Of Holographic Optical Elements' applied optics,.18 (14) : 2407.

References

- 1- Owen .H, 1985 'Holographic Optical Elements In Dichromated Gelatin ', SPIE, 523:296 .
- 2- SOLEMAR .L and COOKE .B. J, 1981 'Volume Holography And Volume Grating 'New York, London.
- 3- BLOSS.W.H, 1985 'Dispersive Concentrating Systems Based On Transmission Phase Holograms For Solar Application ' applied Optics,. 21(.20),.:3739.

Increasing solar cell efficiency by manufacturing holographic concentrators

*Addnan,S.AL-Ethawi

** Ali ,H.AL-Hamadani

Wldan M.Awad

* Energy research center, Iraq, Baghdad, jadriya.

** Physics department, college of science for women, university of Baghdad

Abstract:

A new type of concentrating system is presented which allows high Concentration and simultaneous splitting of spectral wavelength, this dispersive and concentrating system is based on transmission hologram, which exhibit minimum absorption and high diffraction efficiency at (900 nm) wavelength that is useful for solar cell.

The spectral imaging properties can be optimized with respect to the requirements of solar application. These spectral properties were studied by using different manufacturing Parameters such are hologram thickness and the angle of film rotation , the results shows that the optimum parameters for manufacturing the best hologram are thickness (0.45mm) and angle of film rotation (15°).

The efficiency of the solar cell (η) is increased from (5.7%) to (6.5%) and maximum power (P_m) is increased from (0.0456) to (0.052) by using the holographic concentrator manufacturing by using the optimum manufacturing Parameters.